

## УДАРНЫЕ ВОЛНЫ В ДИЛАТИРУЮЩИХ И НЕДИЛАТИРУЮЩИХ СРЕДАХ

С. Г. Артышев, С. Э. Дунин

(Москва)

При взрыве заряда в изотропной хрупкой среде, находящейся в покое и сжатой литостатическим давлением  $p_h$ , от центра взрыва начинает распространяться ударная волна. Последовательный анализ характера разрушения в зависимости от свойств породы и литостатического давления дан в работах [1—3], где разрушение породы описывалось без учета дилатансионного характера поведения среды, т. е. без учета возможности изменения объемной деформации при сдвиговой [4].

В данной работе рассматривается задача о распространении сферически-симметричной волны разрушения в дилатирующих и недилатирующих пластических средах.

Источником волны разрушения, находящейся в шаровой полости (каверне) с начальным радиусом  $a_0$ , является газ с начальным давлением  $p_{h0}$ . Предполагается, что за фронтом волны выполняется условие пластичности Прандтля

$$(1) \quad \sigma_r - \sigma_\varphi = k + m(\sigma_r + 2\sigma_\varphi),$$

где  $k$  и  $m$  — известные постоянные;  $\sigma_r$  и  $\sigma_\varphi$  — напряжения в радиальном и ортогональных к нему направлениях соответственно. Течение породы за фронтом описывается уравнениями сохранения импульса, массы и уравнением дилатансии

$$(2) \quad \rho(\partial u / \partial t + u \partial u / \partial r) = \partial \sigma_r / \partial r + 2(\sigma_r - \sigma_\varphi) / r;$$

$$(3) \quad \partial \rho / \partial t + u \partial \rho / \partial r + \rho(\partial u / \partial r + 2u / r) = 0;$$

$$(4) \quad \partial u / \partial r + 2u / r = \Lambda(\rho, \sigma_r) |\partial u / \partial r - u / r|,$$

где  $\rho$  — плотность среды;  $u$  — массовая скорость;  $r$  — радиус;  $t$  — время;  $\Lambda(\rho, \sigma_r)$  — скорость дилатансии [4]. На фронте волны разрушения принимаются условия сохранения массы и импульса

$$(5) \quad u_\Phi(t) = \varepsilon_\Phi(t) \dot{R}(t);$$

$$(6) \quad p_\Phi(t) - p_h = \rho_0 \varepsilon_\Phi(t) \dot{R}^2(t),$$

где  $R(t)$ ,  $\dot{R}(t)$  — радиус и скорость фронта;  $p_h = 9,81 \cdot \rho_0 h$  — литостатическое давление на глубине  $h$ ;  $\varepsilon_\Phi = 1 - \rho_0 / \rho_\Phi$  — скачок уплотнения на фронте;  $p_\Phi = -\sigma_\Phi$  — давление на фронте. Здесь и далее индексом  $\Phi$  обозначены значения величин на фронте, индексом 0 — в невозмущенной среде.

Удобно записать уравнения (2) — (4) в лагранжевых переменных  $(r_0, t)$ . Обозначая новые неизвестные функции от переменных  $(r_0, t)$  теми же буквами  $u, \rho, \sigma_r, r$ , получим с учетом (1), что в области за фронтом ( $t > t_1(r_0)$ , где  $t_1(r_0)$  — функция, обратная к функции  $R(t)$ ), выполняются уравнения

$$(7) \quad \frac{\partial}{\partial r_0} \left[ r^\alpha \left( p - \frac{k}{3m} \right) \right] = \rho_0 r_0^2 r^{\alpha-2} \frac{\partial u}{\partial t};$$

$$(8) \quad \frac{\partial r}{\partial r_0} = \frac{r_0^2}{r^2} \frac{\rho_0}{\rho};$$

$$(9) \quad \Lambda \frac{\partial}{\partial t} \ln(\rho r^3) + \frac{\partial}{\partial t} \ln \rho = 0,$$

где  $\alpha = 6m/(2m + 1)$ ;  $p(r_0, t) = -\sigma_r(r_0, t)$ .

Уравнение дилатансии (9) получено в предположении, что в (4)  $\partial u / \partial r \leq 0$ .

Сделано два дополнительных предположения, позволивших перейти от уравнений в частных производных к обыкновенному дифференциальному уравнению.

1. Скорость дилатансии  $\Lambda$  является константой. Тогда уравнение (9) принимает вид

$$\frac{\partial}{\partial t} (\rho^{\Lambda+1} r^{3\Lambda}) = 0,$$

при котором оно интегрируется явно

$$(10) \quad \rho(r_0, t) = \rho_\Phi(t_1(r_0)) \left( \frac{r_0}{r(r_0, t)} \right)^{2-n},$$

где  $n = (2 - \Lambda)/(1 + \Lambda)$ .

Интегрирование (8) дает

$$(11) \quad R^{n+1}(t) - r^{n+1}(r_0, t) = (n+1) \rho_0 \int_{r_0}^{R(t)} \frac{\xi^n}{\rho_\Phi(t_1(\xi))} d\xi,$$

откуда следует, что

$$(12) \quad u(r_0, t) \equiv \frac{\partial r(r_0, t)}{\partial t} = \varepsilon_\Phi(t) \left( \frac{R(t)}{r(r_0, t)} \right)^n \dot{R}(t).$$

2. Разрушаемая порода на фронте достигает своего предельного сжатия, т. е.  $\rho_\Phi(t) = \text{const}$  [5]. В этом случае уравнение (11) переходит в

$$(13) \quad r^{n+1}(r_0, t) = (1 - \varepsilon_\Phi) r_0^{n+1} + \varepsilon_\Phi R^{n+1}(t),$$

а формула (10) разуплотнения среды может быть записана через эйлеровы координаты

$$\rho(r, t) = \frac{\rho_\Phi^{\Lambda+1}}{\rho_0^\Lambda} \left[ 1 - \varepsilon_\Phi \left( \frac{R(t)}{r} \right)^{n+1} \right]^\Lambda,$$

где

$$\left( (1 - \varepsilon_\Phi) a_0^{n+1} + \varepsilon_\Phi R^{n+1}(t) \right)^{\frac{1}{n+1}} \leq r \leq R(t).$$

Введем безразмерные величины  $\tau = t/\hat{\rho}$ ,  $x_0 = r_0/a_0$ ,  $y(x_0, \tau) = r/a_0 x_0$ ,  $\beta\tau/a_0$ ,  $Y(\tau) = R(\beta\tau)/a_0$ ,  $\pi(x_0, \tau) = p(a_0 x_0, \beta\tau)/p_{k0}$ , где за единицу времени взята

$$\beta = \frac{10}{\sqrt{9,80665}} a_0 \sqrt{\frac{\rho_0}{p_{k0}}};$$

$a_0$ , м;  $\rho_0$ , г/см<sup>3</sup>;  $p_{k0}$ , кбар;  $\beta$ , мс. Уравнение (7) после интегрирования в пределах от  $r_0$  до  $R(t)$  с учетом (12), (13), (5), (6) принимает вид

$$(14) \quad A\left(\frac{x_0}{Y}\right) Y \ddot{Y} + B\left(\frac{x_0}{Y}\right) \dot{Y}^2 + C(x_0, \tau) = 0,$$

$$\text{где} \quad A\left(\frac{x_0}{Y}\right) = \int_{x_0/Y}^1 \xi^2 z^{\alpha-n-2}(\xi) d\xi;$$

$$z(\xi) = (\varepsilon_\Phi + (1 - \varepsilon_\Phi) \xi^{n+1})^{\frac{1}{n+1}};$$

$$B\left(\frac{x_0}{Y}\right) = 1 + nA\left(\frac{x_0}{Y}\right) - \varepsilon_\Phi n \int_{x_0/Y}^1 \xi^2 z^{\alpha-2n-3}(\xi) d\xi;$$

$$C(x_0, \tau) = \frac{1}{\varepsilon_\Phi} \frac{\rho_0 h}{p_{k0}} 10^{-4} - c_1 - z^\alpha\left(\frac{x_0}{Y}\right) \left[ \frac{1}{\varepsilon_\Phi} \pi(x_0, \tau) - c_1 \right];$$

$$c_1 = \frac{1}{\varepsilon_\Phi} \frac{k}{3m p_{k0}} 10^{-3};$$

$k$ , кг/см<sup>2</sup>;  $h$ , м.

Полагая  $x_0 = 1$  и задавая закон изменения давления  $\pi(1, \tau)$  на взрывной полости, (14) можно использовать как дифференциальное уравнение относительно безразмерного радиуса фронта  $Y(\tau)$ . При этом начальными данными будут

$$Y(0) = 1, \quad \dot{Y}(0) = \sqrt{\frac{1}{\varepsilon_\Phi} \left(1 - \frac{\rho_0 h}{p_{k0}} 10^{-4}\right)}.$$

После нахождения  $Y(\tau)$  уравнение (14) позволяет рассчитывать давление  $\pi(x_0, \tau)$  во всей зоне, по которой прошла волна,  $1 \leq x_0 \leq Y(\tau)$ .

В данной работе условие на взрывной полости бралось в двух видах:

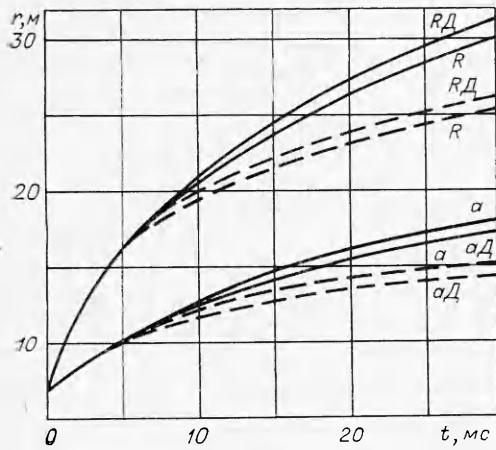
$$(15) \quad \pi(1, \tau) = (a_0/r(a_0, t))^{3\gamma} \equiv y^{-3\gamma}(1, \tau),$$

что соответствует предположению об адиабатическом расширении полости с постоянной адиабаты  $\gamma$  [6], и на основании экспериментально установленной зависимости из работы [7], которая в наших обозначениях имеет вид

$$(16) \quad \pi(1, \tau) = \left(1 + \frac{\beta}{t_r} \tau\right) \exp\left(\frac{1}{2} \left(1 - \left(1 + \frac{\beta}{t_r} \tau\right)^2\right)\right),$$

где  $t_r$  — постоянная, мс.

На фиг. 1—4 приводятся некоторые результаты вычислений, полученные при следующих исходных данных [7]:  $p_{k0} = 62$  кбар;  $m = 0,45$ ;  $k = 0,35$  кг/см<sup>2</sup>;  $\rho_0 = 2,5$  г/см<sup>3</sup>;  $h = 1000$  м;  $\varepsilon_\Phi = 0,2$ ;  $a_0 = 7$  м;  $\gamma = 1,5$ ;  $t_r = 2$  мс;  $\Lambda = 0,14$  или  $\Lambda = 0$ . Зависимости радиусов фронта  $R$  и полости  $a$  от времени  $t$  приводятся на фиг. 1, где сплошные линии соответствуют краевому условию (15), а штриховые — краевому условию (16). Буква  $D$  здесь и далее относится к случаю учета дилатансии ( $\Lambda \neq 0$ ). Разуплотнение разрушаемой породы за счет дилатансии иллюстрируется на фиг. 2, кривые  $I$  и  $I'$  относятся к моменту времени 2,7;  $2$  и  $2'$  — 10,8;  $3$  и  $3'$  — 26 мс. Кривые  $I-3$  соответствуют краевому условию (15), а  $I'-3'$  — краевому условию (16). Радиальное напряжение  $\sigma_r$  в зависимости от эйлеровой координаты  $r$  показано на фиг. 3 для краевого условия (15) и на фиг. 4 —

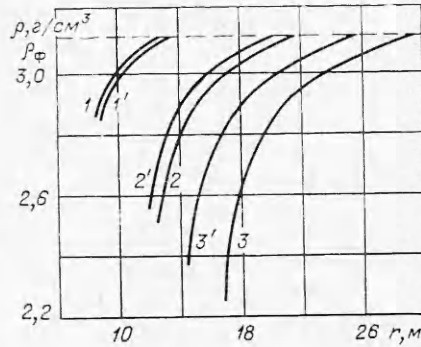


Фиг. 1

и 2Д — 9,9; 3 и 3Д — 22,5 мс. Для фиг. 4 соответствующие времена равны 0,9; 2,7; 16,2 мс.

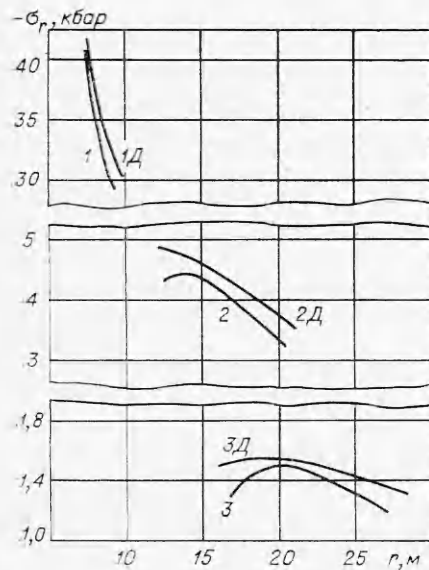
Вычисления показали, что с некоторого момента времени в раздавливаемой породе образуется внутренняя зона пересжатия (максимум на кривых 2, 3, 3Д фиг. 3 и на кривых 2, 2Д, 3, 3Д фиг. 4). Это явление численно наблюдается с учетом и без учета дилатансии. Как видно, учет дилатансии приводит к возрастанию скорости фронта и уменьшению скорости расширения полости (см. фиг. 1), а также к увеличению давления в породе (см. фиг. 3, 4). Разуплотнение породы за счет дилатансии может достигать значительных размеров (до 30% от плотности на фронте, фиг. 2).

Проведенные расчеты при других значениях  $p_{к0}$ ,  $\epsilon_{\phi}$ ,  $\gamma$ ,  $\Lambda$  дали примерно такой же качественный результат.

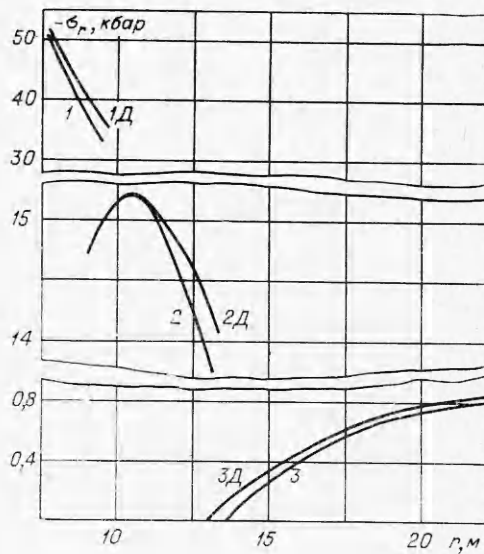


Фиг. 2

для краевого условия (16). На фиг. 3 кривые 1 и 1Д относятся к моменту времени 0,9; 2



Фиг. 3



Фиг. 4

Авторы выражают благодарность Б. Л. Рождественскому, Е. Е. Ловецкому и В. К. Сироткину за обсуждение и интерес к работе.

Поступила 12 VII 1977

#### ЛИТЕРАТУРА

1. Григорян С. С. Некоторые вопросы математической теории деформирования и разрушения твердых горных пород. — ПММ, 1967, т. 31, № 4.
2. Багдасарян А. Б. Точные решения задачи о действии взрыва сосредоточенного заряда в хрупкой твердой среде. — Изв. АН АрмССР. Механика, 1968, т. 21, № 5.
3. Багдасарян А. Б. Расчет действия взрыва в хрупкой горной породе. — ПМТФ, 1970, № 5.
4. Николаевский В. Н. О связи объемных и сдвиговых пластических деформаций и ударных волн в мягких грунтах. — Докл. АН СССР, 1967, т. 175, № 5.
5. Андрианкин Э. И., Корявов В. П. Ударная волна в переменнo уплотняемой пластической среде. — Докл. АН СССР, 1959, т. 128, № 2.
6. Компанец А. С. Ударные волны в пластической уплотняющейся среде. — Докл. АН СССР, 1956, т. 109, № 1.
7. Фачиоли Э., Анг А. Х. — С. Дискретная эйлерова модель распространения сферической волны в сжимаемой среде. — В кн.: Действие ядерного взрыва. М., «Мир», 1971.

УДК 624.131 + 539.215.

### ВЗАИМОДЕЙСТВИЕ ВОЛНЫ В ВЯЗКОПЛАСТИЧЕСКОЙ СРЕДЕ С ПРЕГРАДОЙ

Г. М. Ляхов, К. С. Султанов

(Москва)

В работах [1, 2] предложена модель грунта как вязкопластической среды. Ниже на основе этой модели получено решение задачи о взаимодействии плоской одномерной волны с неподвижной и смещающейся преградой, проведенное с помощью ЭВМ методом характеристик. Задача о распространении волн на основе этой же модели решена в [2, 3]. Результаты измерения параметров взрывных волн, свидетельствующие о существенном влиянии на закономерности их распространения вязких и пластических свойств грунтов, приведены в работах [2, 4—6].

В соответствии с моделью [1] в плотных средах учитываются две предельные нелинейные диаграммы объемного сжатия  $\sigma_D(\epsilon)$  и  $\sigma_S(\epsilon)$ , соответствующие динамическому ( $\dot{\epsilon} \rightarrow \infty$ ) нагружению и равновесному состоянию среды ( $\dot{\epsilon} \rightarrow 0$ ) (статическому нагружению). Разгрузка протекает по другим уравнениям, чем нагрузка, что приводит к образованию остаточных деформаций. Общая деформация элемента  $\epsilon = \epsilon_1 + \epsilon_2$ , где величина  $\epsilon_1$  связана с мгновенным сжатием, а  $\epsilon_2$  со сжатием, протекающим в конечном время (деформация переукладки).

При малых нагрузках предельные зависимости принимаются линейными и поведение среды [1, 2] определяется последовательностью уравнений:

при ударном нагружении (на скачке)

$$(1) \quad \sigma = E_D \epsilon;$$